

Langmuir - Blodgett(LB)법을 이용한 폴리이미드 초박막의 제작

김 영 관

홍익대학교 공과대학 화학공학과

Preparation of Ultra-Thin Polyimide Film by Using Langmuir - Blodgett(LB) Method

Kim, Yong-Kwan

Dept. of Chemical Engineering, Hong-Ik University

(Received Sep. 13, 1994)

ABSTRACT

Polyamic acid alkylamine (*N,N*-dimethylhexadecylamine)(PAAS)염을 합성하여 그 합성여부를 확인하였으며 PAAS염의 Langmuir막의 π -A 등온선 및 표면 전위 특성 등을 조사하였다. Langmuir - Blodgett법에 의하여 PAAS염의 LB막을 여러종류의 기판에 누적하였으며 누적여부를 자외선 흡수 스펙트럼 및 적외선 투과 스펙트럼을 이용하여 조사하였다. 그리고 PAAS LB막을 열처리에 의하여 이미드(imide)화시켜 폴리이미드 LB막을 제조하였으며 그 이미드화 여부를 자외선 및 적외선 스펙트럼을 이용하여 조사하였다.

I. 서 론

마이크로 전자산업에서는 더욱 더 뛰어난 성능을 지니며 고도로 집적된 마이크로 전자소자를 연구 개발하고 있으나, 현재 사용되는 무기물 소재의 집적화의 한계때문에 최근 과학계에서는 이의 극복을 위해 다방면의 연구를 진행하고 있다. 그의 한 분야로 고분자를 포함한 유기물 전자소자로 무기물 전자 소자를 대체하려는 연구도 진행되고 있다. 기능성 유기물을 무기물들과 달리 다양한 전기적 특성을 지닐 수 있게 합성되어질 수 있으며 분자하나가 제어 단위로 작용할 수 있기 때문에 분자의 크기를 줄이는데는 효과적이다. 하지만 현재의 연구수준은 벌크(bulk) 상태의 분자 집합체를 제작하여 기초적인 전기적 물성 특성을 연구하고 있는 상태이다.

기능성 고분자인 폴리이미드(Polyimide)는 뛰어

난 열적 그리고 화학적 안정성을 가질 뿐 아니라 기계적 특성, 전기 절연성 및 유전 특성이 우수하며 가공성도 뛰어나 현재 전자산업에서 반도체 봉지재 및 콘덴서 등의 전기, 전자 재료로써 광범위하게 응용되고 있다.

최근에는 초박막 MIM tunnel junction 및 반도체 소자의 lithography 기술 등에 응용하려는 연구도 진행되고 있다. 그러나 이같은 고성능 마이크로 전자 소자의 제작에 폴리이미드를 응용하려면 초박막으로 제작하는 것이 필요하다. 폴리이미드 초박막의 제작은 분자 수준으로 유기물의 두께를 제어할 수 있는 LB법을 이용할 수 있다. 일본의 Hino등은 LB법을 이용하여 단분자 두께인 0.4 \AA 의 폴리이미드 박막을 제작한 바 있다.

본 연구에서는 pyromellitic dianhydride(이하 PMDA)와 oxydianiline(이하 ODA)로 구성된 polyamic acid alkylamine salt(이하 PAAS)를 합성하

고, LB막 제작을 위해 수면상의 분산된 PAAS의 분자거동을 π -A 등온실험 및 표면전위 측정으로 조사하였으며, polyamic acid salt LB막 및 열처리에 의한 polyimide LB막을 여러 종류의 기판에 제작하고 자외선 흡수 스펙트럼 및 적외선 투과 스펙트럼을 이용하여 막의 누적을 확인하였다.

II. 실험

1. 성막분자의 합성

폴리이미드는 불용성이어서 전구체법(precursor method)에 의해 제작되는데, 여기에 초순수에 대한 부력을 키워주기 위해 소수성기인 alkylamine salt를

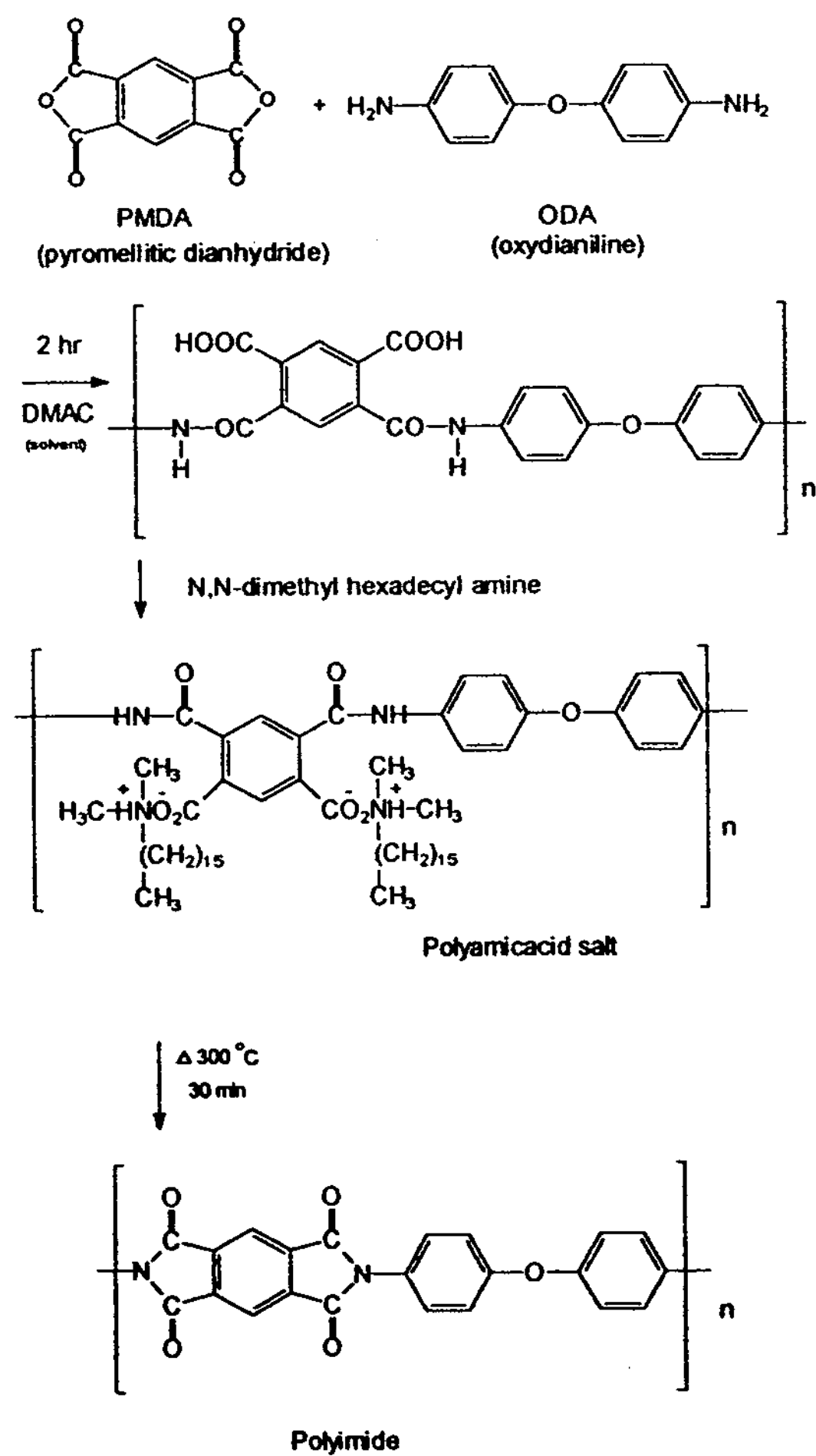


Fig. 1. 성막분자의 구조.

첨가시켜 polyamic acid alkylamine salts를 합성한다. 이 합성된 물질을 이용하여 polyimide LB막을 제작하게 되는데, polyimide LB막의 제작은 일반적으로 두 단계의 과정을 거쳐 제작된다. 먼저 수면상에 형성된 PAAS 단분자막을 기판 위에 누적하고, 누적된 막에 열 또는 화학 처리를 통하여 polyimide LB막으로 만든다. 본 연구에서는 PMDA와 ODA로 구성된 PAAS를 사용했는데 이의 합성 과정은 다음과 같다.

PMDA를 승화시켜 정제하고 ODA와 함께 12시간 진공 건조한 후, 30mL의 N, N-dimethylacetamide (이하 DMAc)에 PMDA와 ODA 순으로 각각 0.005 mol을 가하고 질소 가스하에서 20°C를 유지시켜주면서 2시간 중합시키면 Polyamic acid가 생성된다. 여기에 소수성기인 N, N-dimethyl-n-hexadecylamine을 1:2 몰비로 첨가하여 Fig. 1의 구조를 갖는 polyamic acid alkylamine salts(PAAS)를 합성하였다. 이것을 toluene 1000mL에 소량씩 분산시켜 두 번 재결정함으로써 powder를 얻어 내었고 실온에서 진공 건조시켰다. Fig. 2는 PAAS powder의 적외선 투과 스펙트럼이다.

2. π -A 등온실험 및 표면 전위 측정

π -A 등온실험 및 표면 전위(surface potential) 측정을 위해 subphase는 Milli-Q Reagent Water System으로 제작된 2차 종류수(17~18M Ω)를 사용 하였고, subphase에 분산된 PAAS는 DMAc와

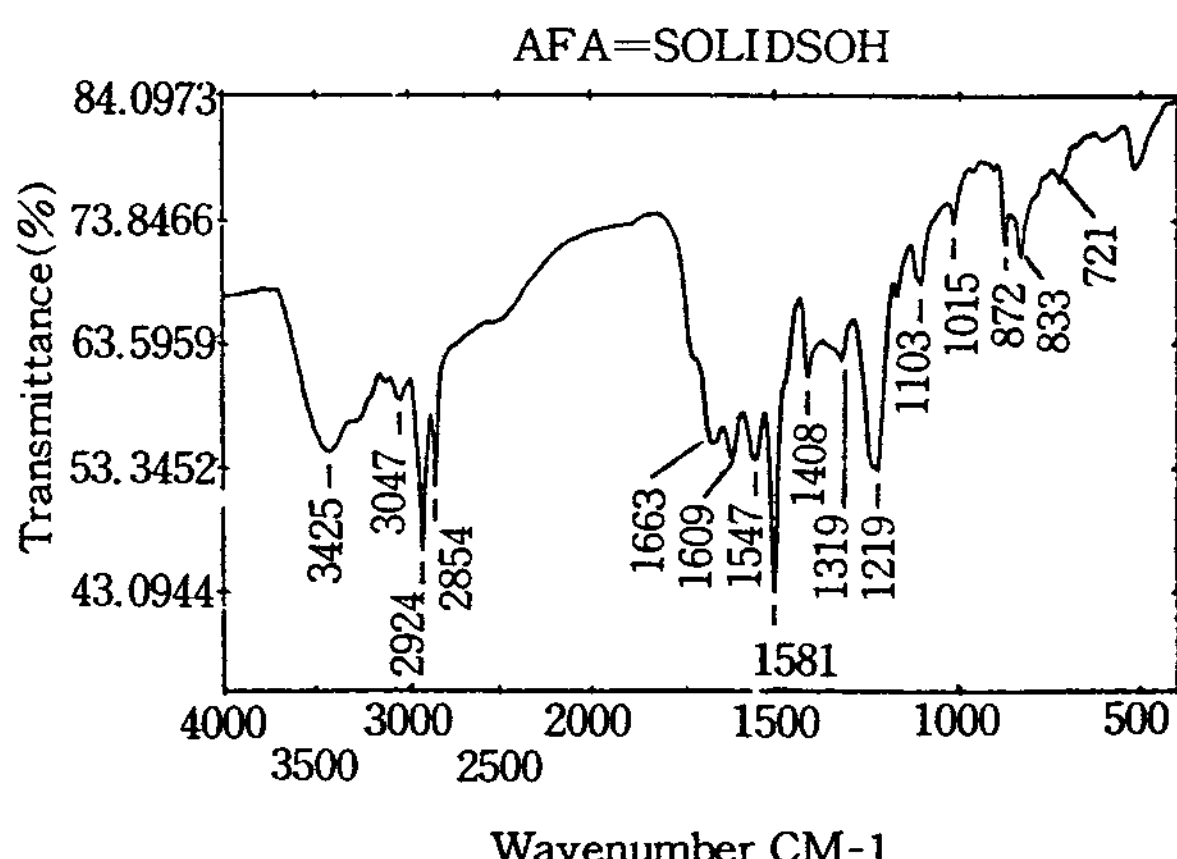


Fig. 2. PAAS의 FT-IR spectrum.

Benzene을 1:1(v/v) 비율로 혼합한 용매에 1mmol/l의 농도로 제작하여 사용하였다. 표면적의 변화를 위한 barrier 압축 속도는 18mm/min로 일정하게 유지시켰으며 이 때 subphase의 온도는 20°C로 유지시켰다.

3. Polyimide LB막의 제작

subphase와 PAAS의 농도는 위와 동일하게 해주었으며, LB막 누적을 위한 표면압은 π -A 등온실험 결과에 의해 고체막을 형성하는 35mN/m로 하였다. 고체막을 형성하기 위한 barrier 압축 속도는 1mN/m/min으로 하였고 기판의 담금 속도는 5mm/min으로 유지시켜 주었으며 기판은 각 실험내용에 따라 적절한 기판을 사용하였다. 자외선·가시광선 흡수 스펙트럼의 측정에는 중크롬산칼륨 황산용액에서 친수성 처리된 수정(quartz)기판을 사용하였다. 그리고 적외선 투과 스펙트럼을 측정하기 위한 기판은 trichloroethylene, acetone, methanol 순으로 세척한 P형의 silicon wafer(100)를 사용하였다. 막 제작 시 subphase의 온도는 20°C, 누적 형태는 Y형으로 하였다. 이상과 같은 조건에서 누적한 PAAS LB막을 머플전기로에서 300°C로 30분간 가열함으로써 폴리이미드 LB막으로 전환시켰다.

4. 측정

PAAS π -A 등온실험, 표면 전위 측정 및 LB막의 제작은 자동 제어되는 Kuhn형의 KSV 3000 누적 장치를 이용하였다. PAAS 및 polyimide LB막의 적외선 흡수 스펙트럼 및 자외선·가시광선 투과 스펙트럼은 각각 BI-RAD사의 FTS-10 spectrometer 및 HP사의 8452A diode array type spectrometer를 사용하여 막의 누적 확인 및 imide화 여부를 조사하였다.

III. 결과 및 검토

Subphase에서 PAAS 분자의 거동 및 LB막을 누적하기 위한 적절한 조건은 π -A 등온선 및 표면 전위로부터 구할 수 있다. Fig. 3은 PAAS의 20°C에서의 π -A 등온 및 표면 전위 곡선으로써 한 분자가 차지하는 극한 점유 면적은 $135\text{ }\text{\AA}^2$ 이었고, 고체막을 형

성하는 표면압은 35mN/m이었다. 한편, 표면압이 증가함에 따라 표면 전위가 증가하는 것을 관찰할 수 있었으며 이것은 분자배열이 점차적으로 변화하는 것을 의미한다.

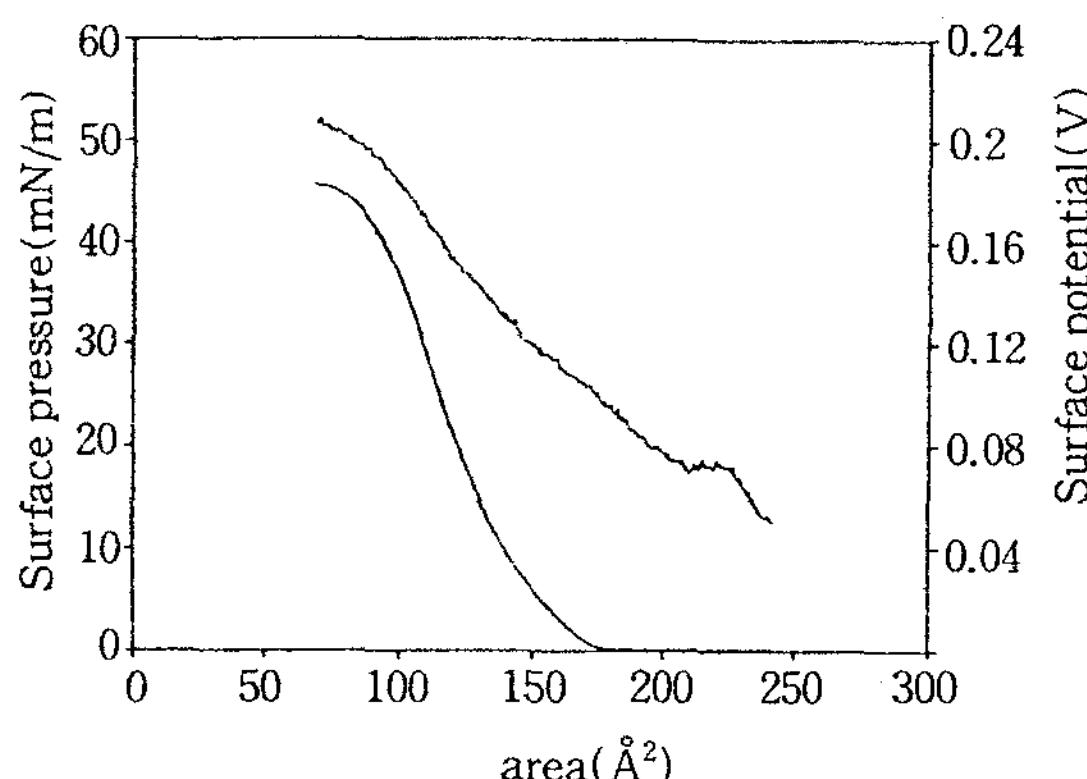


Fig. 3. PAAS의 π -A 등온선 및 표면 전위 곡선.

누적 형태, subphase의 온도, pH 및 barrier의 압축 속도 등 여러가지 변수를 변화시키면서 π -A 등온선을 측정한 결과 PAAS를 누적하기 위한 최적의 조건은 표 1과 같음을 알 수 있었다.

Table 1. PAAS의 LB막의 누적 조건

subphase의 온도	20°C
barrier의 이동 속도	1mN/m/min
기판의 담금 속도	5mm/min
표면압	35mN/m
pH	5.6
누적 형태	Y형

Fig. 4는 이상과 같은 조건으로 누적하여 PAAS LB막의 누적총수를 10, 14, 18, 22층으로 변화시키면서 측정한 자외선·가시광선 흡수 스펙트럼이다. 206nm 및 260nm의 흡수 피크가 누적 층수의 증가에 따라 선형적으로 증가하고 있는 것을 보여 주는데, 이는 분자 수준으로 PAAS LB막의 두께 제어가 잘 이루어지고 있음을 의미한다.

Fig. 5는 PAAS LB막을 폴리이미드 LB막으로 변환한 후 측정한 자외선·가시광선 흡수 스펙트럼이다.

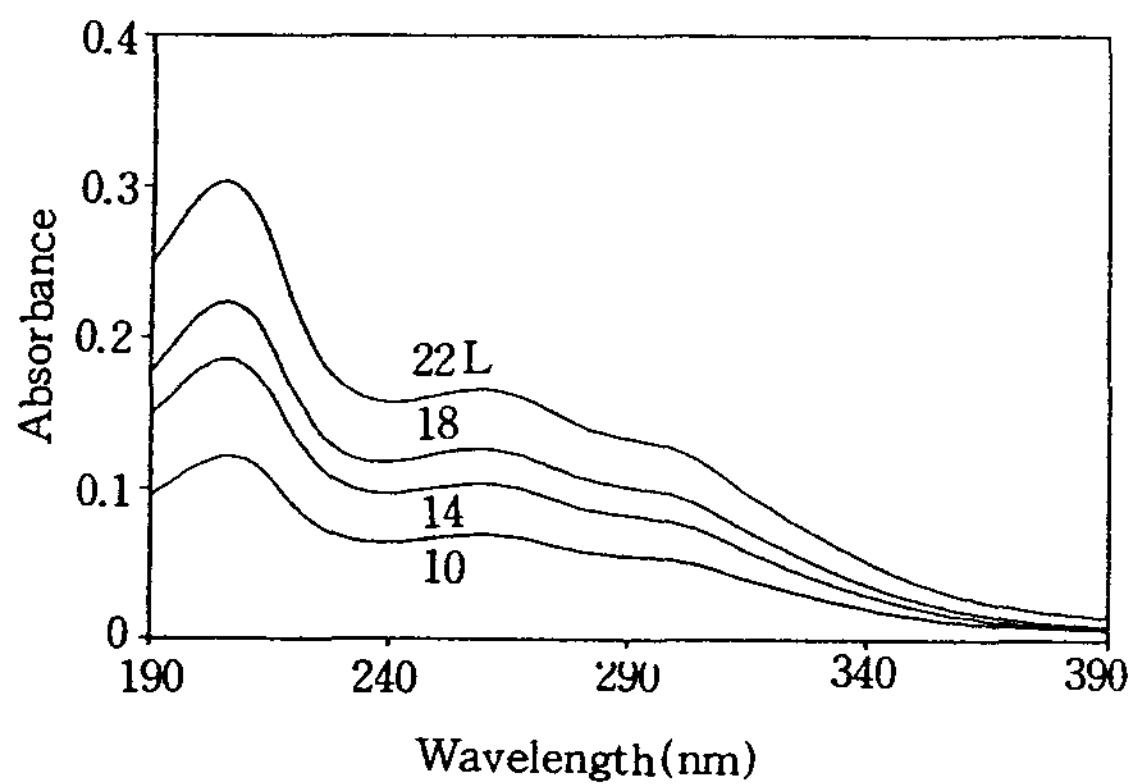


Fig. 4. PAAS LB막의 자외선 흡수 스펙트럼

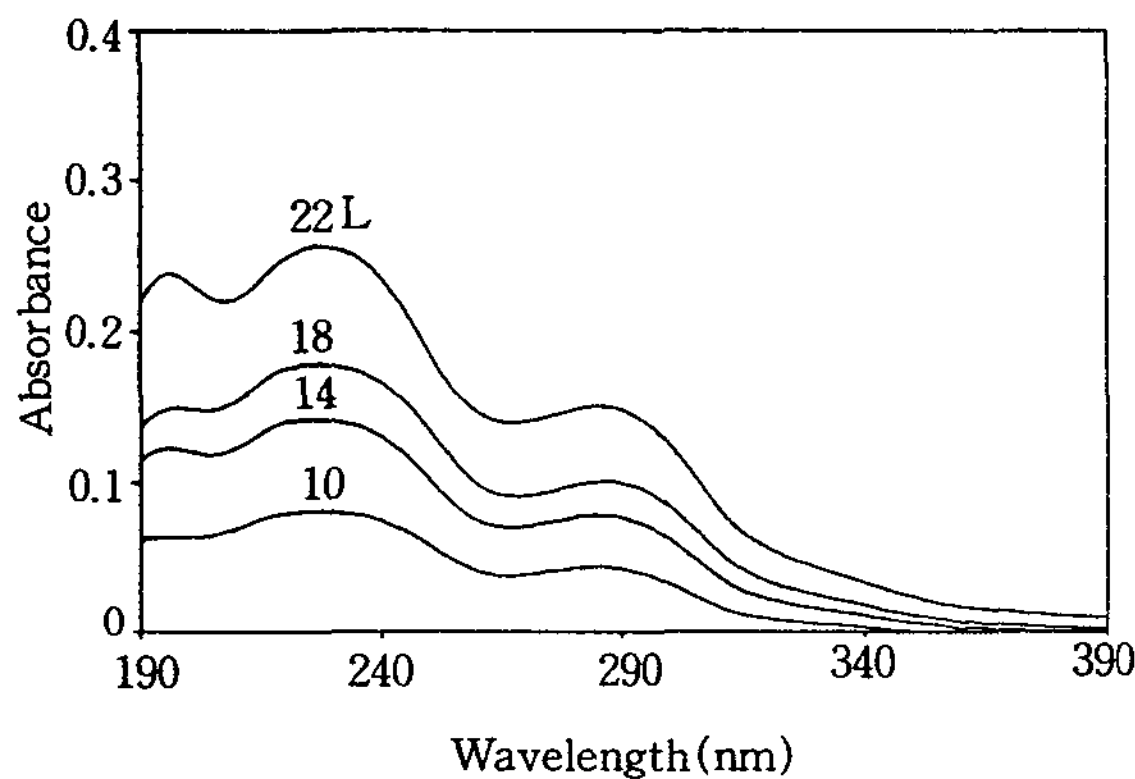


Fig. 5. Polyimide LB막의 자외선 흡수 스펙트럼

흡수 피크가 226nm 및 284nm의 위치로 이동되어 PAAS가 폴리아미드로 전환되어 있음을 알 수 있다. 또한 전환된 LB막도 누적 층수에 따른 흡광도가 선형적으로 증가하고 있어 막의 두께 제어가 열 처리 전후를 통해 모두 잘 되고 있음을 알 수 있었다.

Fig. 6은 102층 누적한 PAAS와 polyimide LB막의 적외선 투과 스펙트럼이다. PAAS LB막의 스펙트럼에서 2875cm^{-1} 및 2950cm^{-1} 에 나타난 피크는 각각 N, N-dimethylhexadecylamine에 hydrocarbon group($-\text{CH}_2-$)의 symmetric, asymmetrical stretching vibration에 의한 것이다. Polyimide LB막의 스펙트럼에서는 2875cm^{-1} 및 2930cm^{-1} 의 피크가 사라진 반면, 1780cm^{-1} 및 726cm^{-1} 에서 폴리아미드의 carbonyl group(C=O)에 의한 symmetrical stretching vibration 및 bending vibration 그리고

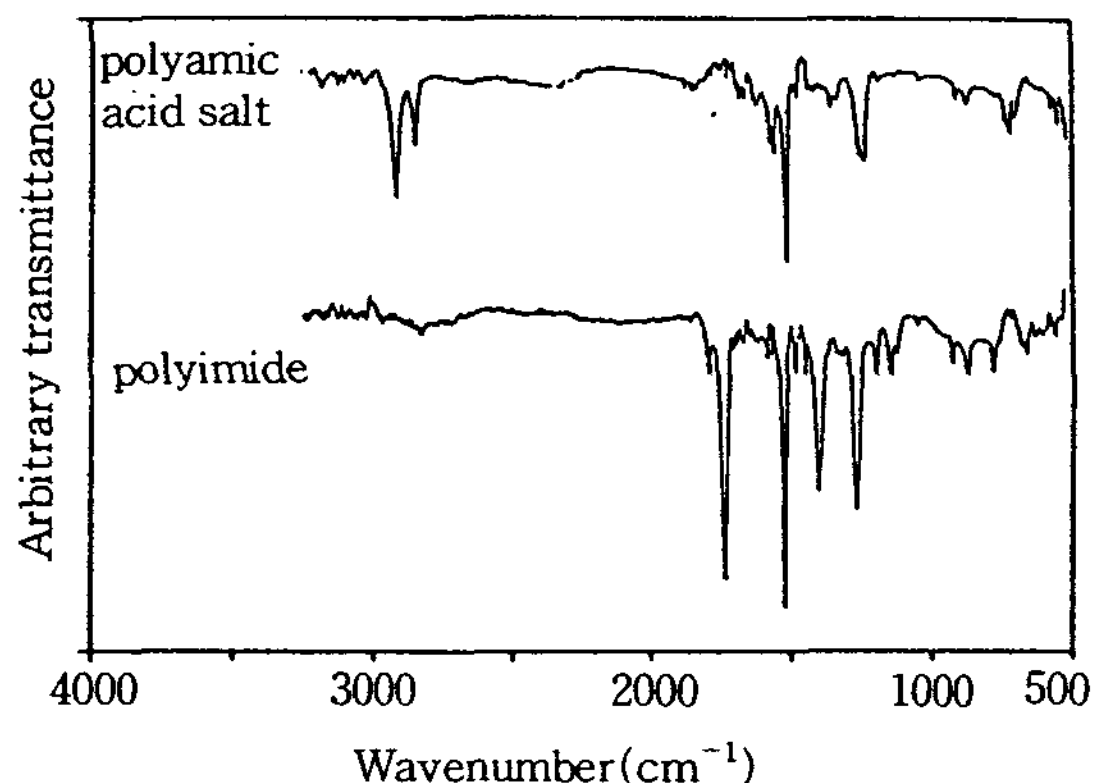


Fig. 6. PAAS 및 폴리아미드 LB막의 적외선 투과 스펙트럼

1377cm^{-1} 에서 C-N에 의한 stretching vibration이 나타나고 있어 열처리에 의해 소수성기인 N, N-dimethylhexadecylamine의 long-chain이 완전히 제거되고 축합반응에 의해 이미드화가 진행되어 폴리아미드 LB막으로 전환되었음을 알 수 있었다.

IV. 결 론

폴리아미드의 전구체인 polyamic acid alkylamine salts를 용매중합법으로 합성하였다. 그리고 π -A 등온실험 및 표면 전위 측정을 통해 LB막을 제작하였으며 이미드화시킨 후, 자외선 및 적외선 스펙트럼을 이용하여 누적 특성 및 이미드화 여부를 조사하여 다음과 같은 결론을 얻었다.

- 1) 폴리아미드 LB막을 제작하기 위한 전구체인 PAAS는 용매중합법에 의해 합성되었다.
- 2) 여러 조건을 변화시키면서 π -A 등온선 실험을 실시한 결과 PAAS의 적절한 누적조건을 알 수 있었으며 고체막을 형성하는 표면압은 35mN/m , 한 분자가 차지하는 극한 점유 면적은 135\AA^2 이었다. 그리고 표면 전위를 측정한 결과 표면압이 증가함에 따라 표면 전위도 증가함을 확인하였다.
- 3) LB법에 의하여 PAAS LB박막을 분자 수준에서 제어할 수 있었으며 또한 제작된 LB막을 열처리 또는 화학적 처리를 하였을 때 imide화가 됨을 확인하였다.

문 헌

1. H. Rohrer, *Limit and Possibilities of Miniaturization*, Jpn. J. Appl. Phys., Vol. 32, pp.1335~1341(1993)
2. I. Bessonov et al, ed., *Polyimide-Thermally Stable Polymers*, Plenum Publishing Corp, New York(1987).
3. R. Jensen & J. Lai, in *Polymers for Electronic*

Applications, edited by J. Lai, pp.33~61, CRC Press(1989)

4. M. Sekine et al, *Jpn. J. Appl. Phys.*, 30, 393 (1991)
5. M. Sekine et al, *Thin Solid Films*, 210/211, 227 (1992)
6. T. Hino et al, *Chem. Lett.*, 395(1986)
7. W. N. Unertl et al, in *Polyimide and Other High-Temperature Polymers*, p.427, Elsevier Science Publishers B. V., Amsterdam(1991)